

К теории излучения релятивистской заряженной частицы в магнитном поле с искривленными силовыми линиями

Я. М. Соболев

Радиоастрономический институт НАН Украины,
Украина, 310002, г. Харьков, ул. Краснознаменная, 4
e-mail: sobolev@ira.kharkov.ua

Статья поступила в редакцию 6 сентября 1999 г., после переработки 20 октября 1999 г.

Рассматривается излучение заряженной частицы, движущейся со скоростью, близкой к скорости света, вдоль искривленной магнитной силовой линии. Найден спектрально-угловое и спектральное распределения в случае, когда ультрарелятивистская частица с отличным от нуля питч-углом теряет энергию за счет двух механизмов излучения: изгибного и ондуляторного. Показано, что в магнитосфере пульсара есть области, в которых справедлив рассматриваемый механизм излучения.

Розглядається випромінювання зарядженої частинки, що рухається зі швидкістю, близькою до швидкості світла, вздовж кривої магнітної силової лінії. Знайдено спектрально-кутовий та спектральний розподіли у випадку, коли ультрарелятивістська частинка з відмінним від нуля пітч-кутом втрачає енергію за рахунок двох механізмів випромінювання: згинного та ондуляторного. Показано, що в пульсарній магнітосфері є зони, у яких працює розглянутий механізм випромінювання.

1. Введение

Синхротронный механизм излучения релятивистских электронов нашел широкое применение при объяснении наблюдаемого космического излучения. Изгибное излучение (curvature radiation) – основной механизм при интерпретации наблюдаемого пульсарного излучения [1,2,3]. В генераторах высокочастотного электромагнитного излучения используется ондуляторный механизм, предложенный в [4,5].

Формулы, описывающие излучение электрона, движущегося по винтовой траектории в однородном магнитном поле, получены в работе [6] только в 1969 г., несмотря на то, что магнитотормозное излучение электрона при круговом движении описано Шоттом [7] еще в 1912 г. В работе [8] когерентное изгибное излучение было предложено в качестве механизма излучения пульсаров. Магнитодрейфовая природа изгибного излучения выяснена в работе [9], квантовый вывод формул изгибного излучения дан в работе [10]. В последнее время возник интерес к изучению излучения ультрарелятивистского электрона, движущегося по изогнутой винтовой траектории в неоднородном (искривленном) магнитном поле [11]. Это излучение авторы [11] назвали синхротронно-изгибным (synchrotron-curvature): его предельными случаями являются синхротронный и изгибный механизмы излучения.

Однако авторы работы [11] не рассмотрели случай, когда при движении ультрарелятивистского электрона по винтовой траектории, навивающейся на криволинейную магнитную

силовую линию, возникает ондуляторное излучение. Ондуляторным называют излучение релятивистских заряженных частиц при квазипериодическом движении в различных магнитных системах* [12]. Основным отличием ондуляторного механизма излучения от синхротронного (хотя и близкого по своей природе к последнему) является его узкополосность, которая возникает вследствие интерференции излучения от ряда периодически повторяющихся участков траектории.

В настоящей работе рассмотрен механизм излучения релятивистской заряженной частицы, движущейся со скоростью, близкой к скорости света, по винтовой траектории, навивающейся на искривленную силовую линию магнитного поля, в условиях, когда вклад в излучение дают несколько ларморовских витков. Соответствующие условия можно сформулировать следующим образом. Если радиус кривизны траектории частицы при малых питч-углах (меньших ширины диаграммы направленности излучения) сравним с радиусом кривизны магнитной силовой линии, то реализуется синхротронно-изгибный механизм излучения [11]. Случай, когда кривизна траектории значительно больше кривизны магнитных силовых линий (при малых питч-углах), рассмотрен в настоящей работе.

Частица считается ультрарелятивистской, магнитные силовые линии аппроксимируются

* Такова же природа излучения, предложенного в работе [13] для объяснения центральной (core) компоненты пульсарного излучения.

окружностями, потери энергии частицы на излучение не учитываются.

2. Траектория частицы

Полагаем, что ведущий центр движется по окружности радиуса R со скоростью v_{\parallel} . Выберем систему координат так, чтобы магнитные силовые линии лежали в плоскости x, y . Траектория частицы задается радиус-вектором [11]

$$\mathbf{r} = (R + r_B \cos \omega_B t) \sin \Omega t \cdot \mathbf{i} + (R + r_B \cos \omega_B t) \cos \Omega t \cdot \mathbf{j} - r_B \sin \omega_B t \cdot \mathbf{k}, \quad (1)$$

где $\Omega = v_{\parallel} / R$ – угловая скорость движения ведущего центра; $\omega_B = e_{\alpha} B / (m c \gamma)$ – угловая скорость вращения заряда вокруг траектории ведущего центра; B – величина магнитного поля; e_{α} , m , $\gamma = (1 - \beta^2)^{-1/2}$ – заряд, масса и лоренц-фактор частицы сорта α ; $\beta = v/c$; $r_B = |v_{\perp} / \omega_B|$ – радиус ларморовской окружности; $\mathbf{i}, \mathbf{j}, \mathbf{k}$ – орты декартовой системы координат. Частица движется под питч-углом ψ_p к направлению магнитного поля; $\operatorname{tg} \psi_p = v_{\perp} / v_{\parallel}$; лоренц-фактор частицы $\gamma \gg 1$, $\gamma_{\parallel} = (1 - \beta_{\parallel}^2)^{-1/2}$, $\beta_{\parallel} = v_{\parallel} / c$.

Ультрарелятивистская частица излучает в пределах угла $\sim 1/\gamma$ в направлении своего движения. Если угол отклонения частицы, движущейся во внешнем электромагнитном поле, больше ширины диаграммы направленности излучения, то излучение происходит в основном с малого участка траектории в пределах угла $\sim 1/\gamma$. Этот участок траектории можно аппроксимировать окружностью и рассматривать излучение как синхротронное при круговом движении по окружности с радиусом, равным радиусу кривизны траектории на данном участке [14].

Вычислим радиус кривизны r_c траектории (1). В приближении $r_B \ll R$ находим:

$$r_c = \frac{(v_{\perp}^2 + v_{\parallel}^2)^{3/2}}{\omega_B v_{\perp} v_{\parallel} \left[\left(1 + \frac{v_{\perp}^2}{v_{\parallel}^2} \right) \left(1 + 2 \frac{\Omega v_{\parallel}}{\omega_B v_{\perp}} \cos \omega_B t \right) + \frac{\Omega^2 v_{\parallel}^2}{\omega_B^2 v_{\perp}^2} \right]^{1/2}} \quad (2)$$

Введем параметр

$$N = \frac{|\omega_B|}{\gamma_{\parallel} \Omega}, \quad (3)$$

пропорциональный числу оборотов заряженной частицы вокруг силовой линии внешнего магнитного поля на участке траектории длиной R/γ_{\parallel} . Действительно, частица проходит отрезок окружности R/γ_{\parallel} за время $\Delta t \sim R/(\gamma_{\parallel} v_{\parallel}) = 1/(\gamma_{\parallel} \Omega_{\parallel})$, совершая при этом $\Delta t/(2\pi/|\omega_B|) = N/(2\pi)$ оборотов. С другой стороны, набег фазы $|\omega_B| \Delta t = N$.

Как видно из выражения (2), радиус кривизны траектории частицы зависит от величин

$$\frac{\omega_B v_{\perp}}{\Omega v_{\parallel}} = \frac{\omega_B \operatorname{tg} \psi_p}{\Omega} \equiv N \epsilon_{\perp}. \quad (4)$$

В формуле (4) введен параметр ϵ_{\perp} , выражающий питч-угол в долях угла $1/\gamma_{\parallel}$, $\psi_p \equiv \epsilon_{\perp} / \gamma_{\parallel}$. При этом, как следует из определения лоренц-фактора γ , $\epsilon_{\perp} = 1$ в случае $\gamma \gg \gamma_{\parallel} \gg 1$ и $\epsilon_{\perp} < 1$, когда $\gamma \equiv \gamma_{\parallel}$. Из выражения (2) получаем:

$$r_c = \begin{cases} \frac{c}{|\omega_B| \sin \psi_p} = \frac{R}{N \epsilon_{\perp}} & \text{при } N \epsilon_{\perp} > 1, \\ \frac{c}{\Omega} = R, & \text{при } N \epsilon_{\perp} < 1. \end{cases} \quad (5)$$

Если $\epsilon_{\perp} = 1$, то параметр N показывает во сколько раз радиус кривизны траектории меньше радиуса кривизны силовой линии магнитного поля. Условие того, что радиус кривизны траектории значительно меньше R , эквивалентно требованию $N \epsilon_{\perp} \gg 1$.

Режимы излучения релятивистской ($\gamma_{\parallel} \gg 1$) частицы при уменьшении питч-угла связаны с величиной параметра N , определяемой формулой (3), что схематически показано на рис. 1. В случае, когда $N \gg 1$ (рис. 1, а), имеем следующую последовательность механизмов излучения (от больших частот к меньшим): синхротронное – ондуляторное – изгибаемое излучение. Для синхротронного излучения полная энергия частицы превосходит продольную энергию, $\gamma \gg \gamma_{\parallel}$, питч-угол $\psi_p \sim 1/\gamma_{\parallel}$ ($\epsilon_{\perp} = 1$) и радиус кривизны траектории либо в N ($N > 1$) раз меньше радиуса кривизны магнитной силовой линии, $r_c = R/N$, либо $r_c \equiv R$. Излучение происходит с участка траектории длиной r_c/γ .

ширина диаграммы направленности $\sim 1/\gamma$, ее ось наклонена под углом $\sim 1/\gamma_{||}$ к направлению магнитного поля. Картина аналогична синхротронному излучению при винтовом движении в однородном магнитном поле [6]. При меньших питч-углах, $\varepsilon_{\perp} \equiv \Psi_p \gamma_{||} < 1$, полная энергия частицы $\gamma \equiv \gamma_{||}$. Ширина диаграммы направленности $\sim 1/\gamma_{||}$. При выполнении неравенств $N\varepsilon_{\perp} \gg 1$ и $r_c \ll R$ на участке траектории длиной $\sim R/\gamma_{||}$, с которого собирается излучение, частица совершает $N > 1$ оборотов вокруг магнитной силовой линии. Для того чтобы отличать этот случай от ондуляторного излучения в магнитном поле с прямыми силовыми линиями [15], будем называть режим излучения при движении ведущего центра частицы вдоль искривленной магнитной силовой линии режимом ондуляторно-изгибного излучения. При дальнейшем уменьшении питч-угла Ψ_p , в случае выполнения неравенства $N\varepsilon_{\perp} < 1$, радиус кривизны траектории $r_c \sim R$. В этом пределе преобладают потери энергии частицы за счет изгибного излучения. Если $N \leq 1$, радиус кривизны траектории $r_c = R$ и для малых питч-углов, $\varepsilon_{\perp} < 1$, имеем механизм излучения кривизны.

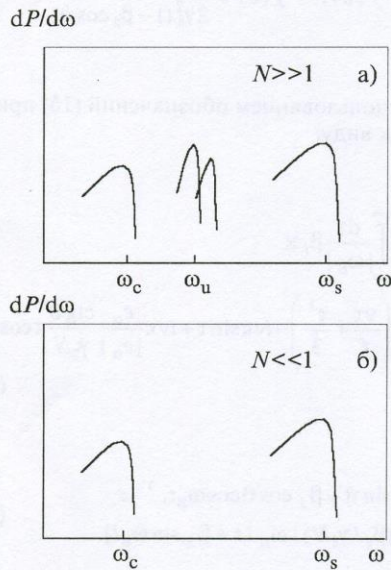


Рис. 1. Спектры излучения релятивистской заряженной частицы, движущейся вдоль искривленной магнитной силовой линии: а) синхротронное, ондуляторное, изгибное излучение; б) ондуляторное и изгибное излучение. $\omega_c = \tilde{\alpha}_{||}^3 \Omega$, $\omega_u = \tilde{\alpha}_{||}^2 |\dot{u}_B| = 2 N \dot{u}_c$, $\omega_s = \tilde{\alpha}_{||}^3 |\dot{u}_B| = (\tilde{\alpha}^3 / \tilde{\alpha}_{||}^2) N \dot{u}_c$ – характерные частоты изгибного, ондуляторного и синхротронного излучения соответственно

Режимы $N > 1$, $N < 1$, $\varepsilon_{\perp} = 1$; $N \ll 1$, $\varepsilon_{\perp} < 1$ исследованы в работе [11]. Случай $N \geq 1$, $\varepsilon_{\perp} < 1$ рассматривается в настоящей работе.

3. Спектрально-угловое распределение излучения

Спектрально-угловое распределение энергии, излучаемой частицей в дальней зоне (энергия, излучаемая в телесный угол между o и $o + do$ в интервале частот между ω и $\omega + d\omega$) имеет вид [14]:

$$\frac{dE}{d\omega d\omega} = \frac{cR_0^2}{4\pi^2} |\mathbf{E}(\omega)|^2, \quad (6)$$

где $\mathbf{E}(\omega)$ – фурье-компонента электрического поля в волновой зоне,

$$\mathbf{E}(\omega) = \frac{-i\omega e_{\alpha}}{cR_0} \exp\{i\omega R_0/c\} \times \int_{-\infty}^{+\infty} [\mathbf{n}[\mathbf{n}, \beta]] \exp\{i\omega(t - \mathbf{nr}/c)\} dt. \quad (7)$$

Здесь R_0 – расстояние до наблюдателя; \mathbf{n} – направление на наблюдателя; $\beta = v/c$; v – скорость частицы; \mathbf{r} – радиус-вектор (1).

Для описания поляризационных свойств излучения выберем два ортогональных направления в плоскости, перпендикулярной вектору \mathbf{n} . Орт \mathbf{e}_{π} находится в плоскости, образованной осью z и направлением \mathbf{n} , а орт \mathbf{e}_{σ} перпендикулярен этой плоскости: $\mathbf{e}_{\pi} = [\mathbf{n}[\mathbf{n}, \mathbf{k}]]/|\mathbf{n}, \mathbf{k}|$, $\mathbf{e}_{\sigma} = [\mathbf{k}, \mathbf{n}]/|\mathbf{k}, \mathbf{n}|$. Орты \mathbf{e}_{π} , \mathbf{e}_{σ} , \mathbf{n} образуют правую тройку.

Разлагая электромагнитное поле (7) по ортам \mathbf{e}_{π} , и \mathbf{e}_{σ} , получаем

$$E_i(\omega) = \frac{e_{\alpha}}{cR_0} \exp\{i\omega R_0/c\} (i\omega) b_i(\omega), \quad (8)$$

где

$$b_i(\omega) = \int_{-\infty}^{+\infty} \beta_i \exp\{i\omega(t - \mathbf{nr}/c)\} dt. \quad (9)$$

Подставляя выражения (8) в формулу (6), находим спектрально-угловое распределение излучения для двух поляризаций:

$$\frac{dE_i}{d\omega d\Omega} = \frac{e^2 \omega^2}{4\pi^2 c} |b_i(\omega)|^2, \quad i = \pi, \sigma. \quad (10)$$

Пусть вектор \mathbf{n} лежит в плоскости (x, z) , тогда

$$\mathbf{n} = (\cos \vartheta, 0, \sin \vartheta); \quad (11)$$

$$\mathbf{e}_\pi = (\sin \vartheta, 0, -\cos \vartheta), \quad \mathbf{e}_\sigma = (0, 1, 0). \quad (12)$$

Направлениям \mathbf{n} над плоскостью $z = 0$ (под плоскостью $z = 0$) соответствуют углы $\vartheta > 0$ ($\vartheta < 0$).

Дифференцируя радиус-вектор (1) по времени и воспользовавшись выражением (12), находим проекции вектора β на орты \mathbf{e}_π и \mathbf{e}_σ :

$$\beta_\pi = [\beta_\parallel (1 + \frac{r_B}{R} \cos \omega_B t) \cos \Omega t - \beta_\perp \sin \omega_B t \sin \Omega t] \sin \vartheta + \beta_\perp \cos \vartheta \cos \omega_B t, \quad (13)$$

$$\beta_\sigma = -[\beta_\parallel (1 + \frac{r_B}{R} \cos \omega_B t) \sin \Omega t + \beta_\perp \sin \omega_B t \cos \Omega t].$$

В формулах (13) и ниже предполагается, что $v_\perp = \omega_B r_B$, т. е. $v_\perp / |v_\perp| = e_\alpha / |e_\alpha|$.

При помощи выражений (1), (11) находим показатель экспоненты в формуле (9):

$$t - \mathbf{nr} / c = [1 - \beta_\parallel \cos \vartheta (1 + \frac{r_B}{R} \cos \omega_B t)] t + \frac{\beta_\perp}{\omega_B} \sin \vartheta \sin \omega_B t + \beta_\parallel \cos \vartheta (1 + \frac{r_B}{R} \cos \omega_B t) \Omega^2 t^3 / 6. \quad (14)$$

Поскольку при релятивистском движении частицы вдоль магнитного поля $\beta_\parallel \rightarrow 1$, то вклад в излучение дает малый участок длиной порядка R/γ_\parallel вдоль магнитной силовой линии. Поэтому в формуле (14) проведено разложение по $\Omega t \sim 1/\gamma_\parallel \ll 1$.

В режиме синхротронного излучения $\gamma \gg \gamma_\parallel$, питч-угол $\psi_p \sim 1/\gamma_\parallel$. Как следует при этом из выражения (2), $r_c = c / (\omega_B \sin \psi_p)$ и основной вклад в интенсивность дают времена $|\omega_B t| \sim |\omega_B r_c| / (c \gamma_c) \sim \gamma_\parallel / \gamma \ll 1$. Поэтому выражения (13), (14) можно разложить по малым $|\omega_B t|$

и $\Omega t \ll 1$ до членов t^3 . Подставляя полученные выражения в формулы (9), (10), находим спектрально-угловое распределение синхротронного излучения. Как следует из вышеприведенного, такое разложение по малым $\omega_B t$ и Ωt справедливо также и в случае, когда $N \ll 1$. Отсюда следует, что результаты работы [11], полученные с использованием разложения выражения (14) по $\omega_B t \ll 1$, справедливы для синхротронного предела $\epsilon_\perp = 1$; а для малых питч-углов $\epsilon_\perp < 1$ – для случая $N \ll 1$.

4. Ондюляторно-изгибное излучение

Пусть $N \gg 1$, но $\gamma \approx \gamma_\parallel$, $\psi_p = \epsilon_\perp / \gamma_\parallel$, $\epsilon_\perp < 1$.

При этом в выражении (14) $\Omega t \ll 1$, но $|\omega_B t| \sim |\omega_B R / (\gamma_\parallel c)| \sim N \gg 1$.

Введем обозначения:

$$v = (1 - \beta_\parallel \cos \vartheta) / (\omega_B |t|), \quad \kappa = -\beta_\perp \sin \vartheta / (1 - \beta_\parallel \cos \vartheta), \quad (15)$$

$$f = \frac{v}{N^2} f(\vartheta), \quad f(\vartheta) = \frac{\beta_\parallel \cos \vartheta}{2\gamma_\parallel^2 (1 - \beta_\parallel \cos \vartheta)}.$$

С использованием обозначений (15) приведем (9) к виду:

$$b_i(\omega) = \int_{-\infty}^{+\infty} \frac{d\tau}{|\omega_B t|} \beta_i \times \exp \left\{ i f \left(\frac{v\tau}{f} + \frac{\tau^3}{3} \right) - i v \kappa \sin \tau + i v \kappa \frac{e_\alpha}{|e_\alpha|} \frac{\text{ctg} \vartheta}{\gamma_\parallel N} \tau \cos \tau \right\}, \quad (16)$$

где

$$\beta_\pi = \beta_\parallel \sin \vartheta + \beta_\perp \cos \vartheta \cos \omega_B t, \quad \beta_\sigma = -[(\beta_\parallel / \gamma_\parallel N) |\omega_B t| + \beta_\perp \sin \omega_B t]. \quad (17)$$

В формулах (17) оставлены слагаемые самого низкого порядка по $1/\gamma_\parallel$.

В синхротронном пределе излучения ($\epsilon_\perp = 1$) 1-е, 3-е и 4-е слагаемые в показателе экспоненты в выражении (16) одного порядка малости, кроме того $\tau = |\omega_B t| \ll 1$. В этом случае $\sin \tau$ и $\cos \tau$ в формуле (16) можно разложить по малым $\tau \ll 1$ (что и сделано в работе [11]).

При малых питч-углах ($\varepsilon_{\perp} < 1$) имеем $v\kappa \sim v\varepsilon_{\perp}$ и $\tau \sim N$. Если $N \ll 1$, то разложение по малым τ по-прежнему справедливо. Если $N > 1$, то такое разложение (по малым τ) уже не адекватно задаче. Поэтому представим экспоненту в выражении (16) в виде ряда по степеням $v\kappa$ (см. Приложение 1). Формулы (П3), (П4) описывают излучение частицы при произвольных значениях параметра N . Рассмотрим случай $N \gg 1$. Оставляя в выражениях (П3), (П4) слагаемые нулевого, первого и второго порядка по ε_{\perp} , имеем:

$$b_{\pi} = \frac{2\pi}{|\omega_B|} \left\{ \beta_{\parallel} \sin \vartheta \frac{\text{Ai}(\zeta_0)}{f^{1/3}} + \frac{|v\kappa| \beta_{\parallel} (v \sin^2 \vartheta + \cos^2 \vartheta) - \cos \vartheta}{2 v \sin \vartheta} \frac{\text{Ai}(\zeta_1)}{f^{1/3}} + \left(\frac{v\kappa}{2} \right)^2 \times \left[\frac{\beta_{\parallel} (v/2 \sin^2 \vartheta + \cos^2 \vartheta) - \cos \vartheta}{v \sin \vartheta} \frac{\text{Ai}(\zeta_2)}{f^{1/3}} - 2\beta_{\parallel} \sin \vartheta \frac{\text{Ai}(\zeta_0)}{f^{1/3}} \right] \right\}, \quad (18)$$

$$b_{\sigma} = \frac{2\pi i}{|\omega_B|} \left\{ \frac{\beta_{\parallel}}{\gamma_{\parallel} N} \frac{\text{Ai}'(\zeta_0)}{f^{2/3}} + \frac{|v\kappa| e_{\alpha}}{2 |e_{\alpha}|} \frac{1 - \beta_{\parallel} \cos \vartheta}{v \sin \vartheta} \frac{\text{Ai}(\zeta_1)}{f^{1/3}} + \left(\frac{v\kappa}{2} \right)^2 \frac{e_{\alpha}}{|e_{\alpha}|} \frac{1 - \beta_{\parallel} \cos \vartheta}{v \sin \vartheta} \left[\frac{\text{Ai}(\zeta_2)}{f^{1/3}} - 2 \frac{\text{Ai}(\zeta_0)}{f^{1/3}} \right] \right\}. \quad (19)$$

где $\zeta_n = (v-n)/f^{1/3}$.

Первое слагаемое в формулах (18), (19) описывает вклад изгибного излучения, второе – вклад первой гармоники ондуляторного излучения, слагаемое в квадратных скобках – вклад второй гармоники ондуляторного излучения и поправку $\sim \varepsilon_{\perp}^2$ к излучению кривизны (нулевой гармонике). (Отметим, что при прямолинейном движении нет нулевой гармоник.)

Для нулевой гармоники $\zeta_0 > 0$, функции Эйри выражаются через функции Макдональда [16]. Подставляя полученные выражения в формулу (10) и пренебрегая слагаемыми второго порядка по ε_{\perp} , получаем спектрально-угловое распределение изгибного излучения:

$$\frac{dE_{\pi}}{d\omega d\vartheta} = \frac{e_{\alpha}^2 \omega^2 N^2}{3\pi^2 c \omega_B^2 \gamma_{\parallel}^2} \psi^2 (1 + \psi^2) K_{1/3}^2(\eta), \quad (20)$$

$$\frac{dE_{\sigma}}{d\omega d\vartheta} = \frac{e_{\alpha}^2 \omega^2 N^2}{3\pi^2 c \omega_B^2 \gamma_{\parallel}^2} (1 + \psi^2)^2 K_{2/3}^2(\eta),$$

где $\psi = \gamma_{\parallel} \vartheta$, $\eta = (1/3)(\omega/(\gamma_{\parallel}^3 \Omega))(1 + \psi^2)^{3/2}$.

При $N \gg 1$ функция $\text{Ai}(\zeta_n)/f^{1/3}$ ($n \neq 0$) имеет резкий максимум вблизи $v=n$, поэтому в спектре излучения появляются локальные максимумы на частотах

$$\omega_n = \frac{n |\omega_B|}{1 - \beta_{\parallel} \cos \vartheta} = \frac{n 2 \gamma_{\parallel}^2 |\omega_B|}{1 + \psi^2}.$$

Характерные частоты изгибного и ондуляторного излучения относятся как $\gamma_{\parallel}^2 |\omega_B| / (\gamma_{\parallel}^3 \Omega) \sim N$. Поэтому вклады излучения кривизны и ондуляторного излучения можно рассматривать раздельно.

Полагая в формулах (18), (19) $v = n$ для множителей при $\text{Ai}(\zeta_n)$, получаем:

$$b_{\pi} = \frac{2\pi}{|\omega_B|} \frac{\kappa \beta_{\parallel} - \cos \vartheta}{2 \sin \vartheta} \frac{1}{f^{1/3}} [\text{Ai}(\zeta_1) + \kappa \text{Ai}(\zeta_2)], \quad (21)$$

$$b_{\sigma} = \frac{2\pi i}{|\omega_B| |e_{\alpha}|} \frac{\kappa 1 - \beta_{\parallel} \cos \vartheta}{2 \sin \vartheta} \frac{1}{f^{1/3}} [\text{Ai}(\zeta_1) + \kappa \text{Ai}(\zeta_2)], \quad (22)$$

где $\zeta_n = (v-n)/f^{1/3} = [(v-n)/v^{1/3}](1 + \psi^2)^{1/3} N^{2/3}$, $\kappa = -2 \varepsilon_{\perp} \psi / (1 + \psi^2)$.

Подставляя выражения (21), (22) в формулу (10) и разлагая по малым углам ϑ , находим спектрально-угловое распределение ондуляторного излучения:

$$\frac{dE_{\pi}}{d\omega d\vartheta} = \frac{e_{\alpha}^2 \omega^2 \varepsilon_{\perp}^2}{4c \omega_B^2 \gamma_{\parallel}^2} \left(\frac{\psi^2 - 1}{1 + \psi^2} \right)^2 \frac{1}{f^{2/3}} |\text{Ai}(\zeta_1) + \kappa \text{Ai}(\zeta_2)|^2, \quad (23)$$

$$\frac{dE_{\sigma}}{d\omega d\vartheta} = \frac{e_{\alpha}^2 \omega^2 \varepsilon_{\perp}^2}{4c \omega_B^2 \gamma_{\parallel}^2} \frac{1}{f^{2/3}} |\text{Ai}(\zeta_1) + \kappa \text{Ai}(\zeta_2)|^2.$$

Видно, что вклад второй гармоники мал в силу малости ε_{\perp} .

В случае ондуляторного излучения при движении ведущего центра частицы вдоль

прямой магнитной силовой линии в формуле (23) множитель $|\text{Ai}(\zeta_1)/f^{1/3}|^2$ заменяется на $|\sin \pi v N / \sin \pi v|^2$ [15].

4.1. Поляризация излучения

Воспользовавшись формулой (8) и выражениями (18), (19), (21), (22), находим напряженность электрического поля излучения.

Для изгибного излучения

$$\mathbf{E} \propto \psi(1 + \psi^2) \mathbf{K}_{1/3}(\eta) \mathbf{e}_\pi - i(1 + \psi^2) \mathbf{K}_{2/3}(\eta) \mathbf{e}_\sigma. \quad (24)$$

Естественно, что это выражение полностью совпадает с соответствующим выражением в случае синхротронного излучения [6].

Для ондуляторного излучения

$$\mathbf{E} \propto (\psi^2 - 1) \mathbf{e}_\pi + i \frac{e_\alpha}{|e_\alpha|} (1 + \psi^2) \mathbf{e}_\sigma. \quad (25)$$

Как видно из формулы (24), изгибное излучение над плоскостью $z = 0$ ($\psi > 0$) левополяризовано и направление вращения электрического вектора совпадает с направлением вращения частицы при движении по окружности радиуса R (левый винт) относительно направления \mathbf{n} . Ниже плоскости $z = 0$ ($\psi < 0$) изгибное излучение правополяризовано. В этом случае вращение частицы относительно \mathbf{n} "правовинтовое" [6].

Из выражения (25) следует, что ондуляторное излучение позитрона в направлении внешнего магнитного поля, $\psi = 0$, имеет левую круговую поляризацию, а излучение электрона – правую круговую поляризацию. Направление круговой поляризации ондуляторного излучения совпадает с направлением вращения заряженной частицы вокруг силовой линии магнитного поля: "левовинтовое" вращение – для позитрона, "правовинтовое" – для электрона.

4.2. Спектральное распределение излучения

Вычислим мощность, излучаемую частицей в единичном интервале частот. Поскольку излучение сосредоточено вблизи плоскости $z = 0$ ($\vartheta \sim 1/\gamma_{||}$), то для телесного угла возьмем выражение $d\Omega = 2\pi d\psi/\gamma_{||}$. Усреднив выражения (20) по периоду между последовательными импульсами $2\pi/\Omega$ и интегрируя по телесному углу, получаем спектральную мощность изгибного излучения P^{cur} :

$$\frac{dP_\pi^{\text{cur}}}{dy_c} = \frac{9\sqrt{3}}{16\pi} W y_c \left[\int_{y_c}^{+\infty} dx \mathbf{K}_{5/3}(x) - \mathbf{K}_{2/3}(y_c) \right], \quad (26)$$

$$\frac{dP_\sigma^{\text{cur}}}{dy_c} = \frac{9\sqrt{3}}{16\pi} W y_c \left[\int_{y_c}^{+\infty} dx \mathbf{K}_{5/3}(x) + \mathbf{K}_{2/3}(y_c) \right],$$

где $y_c = \omega/\omega_c$, $\omega_c = (3/2)\gamma_{||}^3 \Omega$, $W = (2/3)(e_\alpha^2/c)\Omega^2 \gamma_{||}^4$ – полная мощность, теряемая электроном при изгибном излучении.

Суммируя выражения (26), имеем:

$$\frac{dP^{\text{cur}}}{dy_c} = W y_c \frac{9\sqrt{3}}{8\pi} \int_{y_c}^{+\infty} dx \mathbf{K}_{5/3}(x).$$

Это обычное выражение для синхротронного излучения электрона при круговом движении по окружности [6], но радиус окружности равен радиусу кривизны магнитной силовой линии.

Для первой гармоники ондуляторного излучения из выражений (23), воспользовавшись формулами (П6), (П7) из Приложения 2, получаем:

$$\frac{dP_\pi^{\text{ul}}}{d\xi} = 3W(N\epsilon_\perp)^2 \xi \times$$

$$\times \int_{\xi}^{+\infty} dx \left[1 - 2 \left(\frac{\xi}{x} \right)^{1/2} + 2 \left(\frac{\xi}{x} \right)^{3/2} \right] \frac{1}{(2f)^{1/3}} \text{Ai} \left(2 \frac{x-1}{(2f)^{1/3}} \right),$$

$$\frac{dP_\sigma^{\text{ul}}}{d\xi} = 3W(N\epsilon_\perp)^2 \xi \int_{\xi}^{+\infty} dx \frac{1}{(2f)^{1/3}} \text{Ai} \left(2 \frac{x-1}{(2f)^{1/3}} \right), \quad (27)$$

где $\xi = \omega/\omega_u$, $\omega_u = 2\gamma_{||}^2 |\omega_B|$.

И аналогично для второй гармоники ондуляторного излучения, воспользовавшись формулами (П8), (П9) для интегрирования по телесному углу, получаем:

$$\frac{dP_\pi^{\text{ul2}}}{d\xi} = 3W(N\epsilon_\perp)^2 \epsilon_\perp^2 \xi \int_{\xi}^{+\infty} dx \times$$

$$\times \left[\left(\frac{\xi}{x} \right)^{1/2} - 5 \left(\frac{\xi}{x} \right)^{3/2} + 9 \left(\frac{\xi}{x} \right)^{5/2} - 5 \left(\frac{\xi}{x} \right)^{7/2} \right] \times$$

$$\times \frac{1}{(2f)^{1/3}} \text{Ai} \left(2 \frac{x-2}{(2f)^{1/3}} \right) \quad (28)$$

$$\frac{dP_{\sigma}^{u2}}{d\xi} = 6W(N\epsilon_{\perp})^2 \epsilon_{\perp}^2 \xi \int_{\xi}^{+\infty} dx \left[\left(\frac{\xi}{x} \right)^{1/2} - \left(\frac{\xi}{x} \right)^{3/2} \right] \times \frac{1}{(2f)^{1/3}} \text{Ai} \left(2 \frac{x-2}{(2f)^{1/3}} \right)$$

Для того, чтобы оценить интегралы (27), (28), воспользуемся тем, что при $N \rightarrow \infty$ выражение $(1/f^{1/3})\text{Ai}((x-n)/f^{1/3})$ аппроксимирует δ -функцию, т. е.

$$\int_0^{\infty} dx g(x) \frac{1}{(2f)^{1/3}} \text{Ai} \left(2 \frac{x-n}{(2f)^{1/3}} \right) \equiv \frac{1}{2} g(n). \quad (29)$$

С учетом (29) спектральное распределение (27), (28) ондуляторного излучения на 1-й и 2-й гармониках можно записать в виде:

$$\frac{dP_{\pi}^{u1}}{d\omega} = \frac{3}{4} W \frac{(N\epsilon_{\perp})^2}{\gamma_{\parallel}^2 |\omega_B|} \xi (1 - 2\xi^{1/2} + 2\xi^{3/2}) \theta(1 - \xi), \quad (30)$$

$$\frac{dP_{\sigma}^{u1}}{d\omega} = \frac{3}{4} W \frac{(N\epsilon_{\perp})^2}{\gamma_{\parallel}^2 |\omega_B|} \xi \theta(1 - \xi).$$

Здесь $\theta(x)$ – ступенчатая функция, $\theta(x) = \{1 \text{ при } x \geq 0; 0 \text{ при } x < 0\}$.

Для второй гармоники получаем:

$$\frac{dP_{\pi}^{u2}}{d\omega} = \frac{3}{2} W \frac{(N\epsilon_{\perp})^2}{\gamma_{\parallel}^2 |\omega_B|} \frac{\epsilon_{\perp}^2}{2} \left(\frac{\xi}{2} \right)^{3/2} \times \left[1 - 5 \frac{\xi}{2} + 9 \left(\frac{\xi}{2} \right)^2 - 5 \left(\frac{\xi}{2} \right)^3 \right] \theta(2 - \xi), \quad (31)$$

$$\frac{dP_{\sigma}^{u2}}{d\omega} = \frac{3}{2} W \frac{(N\epsilon_{\perp})^2}{\gamma_{\parallel}^2 |\omega_B|} \frac{2\epsilon_{\perp}^2}{2} \left(\frac{\xi}{2} \right)^{3/2} \left(1 - \frac{\xi}{2} \right) \theta(2 - \xi).$$

Чтобы найти полную мощность, теряемую ультрарелятивистской частицей посредством изгибного и ондуляторного излучения, проинтегрируем спектральные распределения (26), (30), (31) по частоте.

Для изгибного излучения получаем:

$$P_{\pi} = \frac{1}{8} W, \quad P_{\sigma} = \frac{7}{8} W.$$

Для первой гармоники ондуляторного излучения

$$P_{\pi}^{u1} = 0,41W(N\epsilon_{\perp})^2, \quad P_{\sigma}^{u1} = 0,75W(N\epsilon_{\perp})^2.$$

Как видно, мощности π - и σ -поляризацій для ондуляторного излучения различаются значительно меньше, чем для изгибного излучения.

Для второй гармоники ондуляторного излучения

$$P_{\pi}^{u2} = 0,38W(N\epsilon_{\perp})^2 \epsilon_{\perp}^2, \quad P_{\sigma}^{u2} = 1,37W(N\epsilon_{\perp})^2 \epsilon_{\perp}^2.$$

Суммарная мощность ондуляторного излучения

$$P^{u1} = 1,16W(N\epsilon_{\perp})^2, \quad P^{u2} = 1,75W(N\epsilon_{\perp})^2 \epsilon_{\perp}^2 \quad (32)$$

для первой и второй гармоник соответственно.

5. Обсуждение

Таким образом, при $N > 1$ участок траектории, с которого происходит излучение, состоит из N витков вокруг силовой линии магнитного поля. Это приводит к тому, что при малых питч-углах, $\varphi_r = \epsilon_{\perp} / \gamma_{\parallel} < 1/\gamma_{\parallel}$, $\gamma \approx \gamma_{\parallel}$, ультрарелятивистская частица, ведущий центр которой движется вдоль искривленной магнитной силовой линии, теряет энергию за счет двух механизмов излучения: изгибного и ондуляторного. Как видно из формулы (32), при $N\epsilon_{\perp} > 1$ ондуляторный канал потери энергии может быть основным. Излучение имеет характерную частоту $\omega u = 2\gamma_{\parallel}^2 |\omega_B|$, профиль линии определяется интерференцией излучения от N витков траектории вокруг магнитной силовой линии и описывается функциями Эйри. При дальнейшем уменьшении питч-угла, $N\epsilon_{\perp} < 1$, основные потери обусловлены изгибным механизмом излучения.

Оценим величины характерных параметров в магнитосфере пульсара. Для дипольного магнитного поля радиус кривизны магнитной силовой линии задается выражением:

$$R = \frac{2}{3} \sqrt{r_{eq} r}, \quad (33)$$

где r_{eq} – расстояние от звезды, на котором данная магнитная силовая линия пересекает экваториальную плоскость, r – расстояние от центра звезды.

На магнитной силовой линии, разделяющей области открытых и замкнутых магнитных силовых линий [17], $r_{eq} = r_L$. Радиус светового цилиндра $r_L \equiv c/\Omega_*$, где Ω_* – угловая скорость вращения нейтронной звезды. Подставляя $r_{eq} = r_L$ в формулу (33), находим, что в области открытых магнитных силовых линий R больше некоторого критического значения $R_C \equiv (2/3)\sqrt{r_L r}$. При этом угловая скорость Ω , соответствующая дви-

жению релятивистской частицы вдоль магнитной силовой линии,

$$\Omega < \Omega_C \equiv \frac{3}{2} \Omega_* \sqrt{\frac{r_L}{r}}. \quad (34)$$

Зависимость величины магнитного поля от расстояния r имеет вид:

$$B = B_0 \left(\frac{r_*}{r} \right)^3, \quad (35)$$

где $B_0 = 10^{12}$ Гс – магнитное поле на поверхности звезды, $r_* = 10^6$ см – радиус нейтронной звезды.

Подставляя выражения (34), (35) в определение (3) параметра N , находим, что в области открытых магнитных силовых линий

$$N \geq \frac{N_0}{\gamma \gamma_{\parallel}} \left(\frac{r_*}{r} \right)^{5/2}, \quad N_0 = \frac{4 \cdot 10^{19}}{3} \left(\frac{\Omega_*}{1 \text{ Гц}} \right)^{-1} \left(\frac{\Omega_* r}{c} \right)^{1/2}.$$

Для пульсаров с периодом порядка 1 с

$$N \geq \begin{cases} 3 \cdot 10^{16} / (\gamma \gamma_{\parallel}), & r = r_*; \\ 3 \cdot 10^{11} / (\gamma \gamma_{\parallel}), & r = 100 r_*. \end{cases} \quad (36)$$

Как видно из (36), в магнитосфере пульсара параметр N может принимать значения как больше, так и меньше единицы.

В магнитосфере пульсара электронно-позитронная плазма генерируется либо вблизи поверхности звезды, $r = r_*$ [18], либо во внешних зазорах [19]. Выберем, как и в работе [11], $B = 10^6$ Гс, $R = 10^8$ см. Из формул (36) следует, что при $\gamma_{\parallel} = 10^2 + 10^5$ параметр $N = 10^7 + 10^1$.

На рис. 2 приведены спектральные распределения ондуляторно-изгибного излучения, вычисленные по формулам (26), (30) и (31) при $N = 10^3$, $\gamma_{\parallel} = 10^4$; $\epsilon_{\perp} = 0.1, 0.01$ и 0.001 . Локальные второй и третий максимумы на рис. 2, а и рис. 2, б соответствуют первой и второй гармоникам ондуляторного излучения. Как видно из графиков, вклад второй гармоники в излучение мал в сравнении с вкладом первой гармоники. Есть область параметров, в которой вклады изгибного и ондуляторного излучения сравнимы.

Приложение 1. Общие формулы для ондуляторно-изгибного излучения

Разложим интеграл (16) по степеням ϵ_{\perp} . Для этого воспользуемся разложениями:

$$e^{-i\nu\kappa \sin \tau} = \sum_{n=-\infty}^{+\infty} e^{-in\tau} J_n(\nu\kappa), \quad (П1)$$

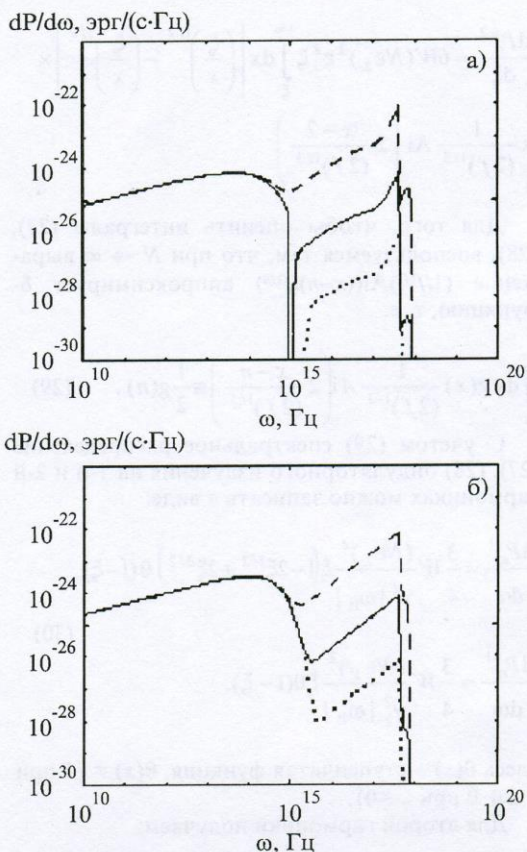


Рис. 2. Спектральное распределение ондуляторно-изгибного излучения: а) π -поляризация, б) σ -поляризация. $N = 10^3$, $\bar{\alpha} = 10^4$; $\epsilon_{\perp} = 0.1$ – штриховая линия, $\epsilon_{\perp} = 0.01$ – сплошная линия, $\epsilon_{\perp} = 0.001$ – точки

Таким образом, в магнитосфере пульсара возможна ситуация, когда релятивистская частица одновременно теряет энергию по двум каналам: за счет изгибного излучения со значительной ролью линейной поляризации и за счет ондуляторного излучения со значительным вкладом круговой поляризации.

В заключение автор выражает благодарность А. Г. Боеву, Ю. Э. Любарскому и В. Н. Мельнику за обсуждение и полезные замечания.

$$e^{i\nu\kappa \frac{e_\alpha \operatorname{ctg} \vartheta \tau}{|e_\alpha| \gamma_\parallel N}} = \sum_{l=-\infty}^{+\infty} l! \left(i\nu\kappa \frac{e_\alpha \operatorname{ctg} \vartheta \tau}{|e_\alpha| \gamma_\parallel T} \cos \tau \right)^l. \quad (\text{П2})$$

Подставляя разложения (П1) и (П2) в интеграл (16) и разложив функции Бесселя $J_n(\nu\kappa)$ в степенной ряд, находим:

$$\begin{aligned} b_\pi = & \frac{2\pi}{|\omega_B|} \frac{\beta_\parallel \sin \vartheta}{f^{1/3}} \operatorname{Ai}\left(\frac{\nu}{f^{1/3}}\right) + \frac{2\pi}{|\omega_B|} \sum_{n=0}^{\infty} \left(\frac{\nu\kappa}{2}\right)^{n+1} \left\{ \beta_\parallel \sin \vartheta \sum_{l=0}^{n+1} \left(\frac{e_\alpha \operatorname{ctg} \vartheta}{|e_\alpha| \gamma_\parallel N}\right)^l \sum_{m=0}^{\lfloor \frac{n+1-l}{2} \rfloor} B_{n+1,l,m} \times \right. \\ & \times \sum_{q=0}^l \binom{l}{q} \frac{1}{f^{(l+1)/3}} \left[\operatorname{Ai}^{(l)}\left(\frac{\nu - (n+1-2m-2l+2q)}{f^{1/3}}\right) + (-1)^{n+1-2m-l} \operatorname{Ai}^{(l)}\left(\frac{\nu + (n+1-2m-2q)}{f^{1/3}}\right) \right] - \\ & - \frac{1-\beta_\parallel \cos \vartheta}{\nu \sin \vartheta} \cos \vartheta \sum_{l=0}^n \sum_{m=0}^{\lfloor \frac{n-l}{2} \rfloor} B_{n,l,m} \left(\frac{e_\alpha \operatorname{ctg} \vartheta}{|e_\alpha| \gamma_\parallel N}\right)^l \sum_{q=0}^{l+1} \binom{l+1}{q} \frac{1}{f^{(l+1)/3}} \left[\operatorname{Ai}^{(l)}\left(\frac{\nu - (n-1-2l-2m+2q)}{f^{1/3}}\right) + \right. \\ & \left. \left. + (1-\delta_{0,n})(-1)^{n-2m-l} \operatorname{Ai}^{(l)}\left(\frac{\nu + (n+1-2m-2q)}{f^{1/3}}\right) \right] \right\}, \quad (\text{П3}) \end{aligned}$$

$$\begin{aligned} b_\sigma = & \frac{2\pi i}{|\omega_B|} \frac{\beta_\parallel}{\gamma_\parallel N} \frac{1}{f^{2/3}} \operatorname{Ai}'\left(\frac{\nu}{f^{1/3}}\right) + \frac{2\pi i}{|\omega_B|} \sum_{n=0}^{\infty} \left(\frac{\nu\kappa}{2}\right)^{n+1} \left\{ \frac{\beta_\parallel}{\gamma_\parallel N} \sum_{l=0}^{n+1} \left(\frac{e_\alpha \operatorname{ctg} \vartheta}{|e_\alpha| \gamma_\parallel N}\right)^l \sum_{m=0}^{\lfloor \frac{n+1-l}{2} \rfloor} B_{n+1,l,m} \times \right. \\ & \times \sum_{q=0}^l \binom{l}{m} \frac{1}{f^{(l+2)/3}} \left[\operatorname{Ai}^{(l+1)}\left(\frac{\nu - (n+1-2l-2m+2q)}{f^{1/3}}\right) + (-1)^{n+1-2m-l} \times \right. \\ & \times \operatorname{Ai}^{(l+1)}\left(\frac{\nu + (n+1-2m-2q)}{f^{1/3}}\right) \left. \right] + \frac{e_\alpha}{|e_\alpha|} \frac{1-\beta_\parallel \cos \vartheta}{\nu \sin \vartheta} \sum_{l=0}^n \sum_{m=0}^{\lfloor \frac{n-l}{2} \rfloor} B_{n,l,m} \left(\frac{e_\alpha \operatorname{ctg} \vartheta}{|e_\alpha| \gamma_\parallel N}\right)^l \sum_{q=0}^l \binom{l}{q} \times \\ & \times \frac{1}{f^{(l+1)/3}} \left[\operatorname{Ai}^{(l)}\left(\frac{\nu - (n+1-2l-2m+2q)}{f^{1/3}}\right) - \operatorname{Ai}^{(l)}\left(\frac{\nu - (n-1-2l-2m+2q)}{f^{1/3}}\right) + \right. \\ & \left. \left. + (1-\delta_{0,n})(-1)^{n-2m-l} \left(\operatorname{Ai}^{(l)}\left(\frac{\nu + (n-1-2m-2q)}{f^{1/3}}\right) - \operatorname{Ai}^{(l)}\left(\frac{\nu + (n+1-2m-2q)}{f^{1/3}}\right) \right) \right] \right\}. \quad (\text{П4}) \end{aligned}$$

Здесь

$$B_{n,l,m} = \frac{(-1)^m}{l! m! \Gamma(n - (l+m) + 1)}, \quad \binom{l}{q} = \frac{l!}{(l-q)! q!},$$

где $\Gamma(n)$ – гамма-функция, $\delta_{0,n} = \{1 \text{ при } n=0; 0 \text{ при } n \neq 0\}$ – символ Кронекера, $\lfloor \frac{n-l}{2} \rfloor$ – целая часть числа. В выражениях (П3), (П4) для функций Эйри и ее производных $\operatorname{Ai}^{(l)}(\zeta) \equiv d^l \operatorname{Ai}(\zeta)/d\zeta^l$ принято определение [16]:

$$\int_{-\infty}^{+\infty} \exp\left\{if(Q^2\tau + \tau^3/3)\right\} = \frac{2\pi}{f^{1/3}} \text{Ai}(f^{1/3}Q^2), \quad (\text{П5})$$

$$\int_{-\infty}^{+\infty} (i\tau)^l \exp\left\{if(Q^2\tau + \tau^3/3)\right\} = \frac{2\pi}{f^{(l+1)/3}} \text{Ai}^{(l)}(f^{1/3}Q^2).$$

Приложение 2

Для вычисления спектральной мощности ондуляторного излучения выведем для функций Эйри формулы, аналогичные формулам теории синхротронного излучения для функций Макдональда $K_{1/3}(x)$, $K_{2/3}(x)$ [6], [11]:

$$\int_{-\infty}^{+\infty} d\psi \left| \frac{1}{f^{1/3}} \text{Ai}\left(\frac{(1+\psi^2)\xi - n}{f^{1/3}}\right) \right|^2 = \frac{1}{\sqrt{\xi f}} \int_{-\infty}^{+\infty} \frac{d\psi}{(2f^{1/3})} \text{Ai}\left(2\frac{x-n}{(2f)^{1/3}}\right). \quad (\text{П6})$$

В формуле (П6) и далее $f = \xi/N^2$.

Для получения выражения (П6) в левой части под интегралом заменяем функцию Эйри ее интегральным представлением (П5). В результате получаем тройной интеграл с переменными интегрирования ψ , τ_1 и τ_2 . Далее делаем замену переменных $u = (\tau_1 - \tau_2)$, $w = (\tau_1 + \tau_2)$ и интегрируем по переменным w , затем ψ . Полученный результат приводит к выражению в правой части (П6).

И аналогично

$$\int_{-\infty}^{+\infty} d\psi \left(\frac{\psi^2 - 1}{1 + \psi^2} \right) \left| \frac{1}{f^{1/3}} \text{Ai}\left(\frac{v-n}{f^{1/3}}\right) \right|^2 = \frac{1}{\sqrt{\xi f}} \int_{-\infty}^{+\infty} \frac{d\psi}{(2f^{1/3})} \left[1 - 2\left(\frac{\xi}{x}\right)^{1/2} + 2\left(\frac{\xi}{x}\right)^{3/2} \right] \text{Ai}\left(2\frac{x-n}{(2f)^{1/3}}\right) \quad (\text{П7})$$

$$\begin{aligned} & \int_{-\infty}^{+\infty} d\psi \frac{\psi^2(\psi^2 - 1)^2}{(1 + \psi^2)^4} \left| \frac{1}{f^{1/3}} \text{Ai}\left(\frac{v-n}{f^{1/3}}\right) \right|^2 = \\ & = \frac{1}{\sqrt{\xi f}} \int_{-\infty}^{+\infty} \frac{d\psi}{(2f^{1/3})} \frac{1}{4} \left[\left(\frac{\xi}{x}\right)^{1/2} - 5\left(\frac{\xi}{x}\right)^{3/2} + 9\left(\frac{\xi}{x}\right)^{5/2} - 5\left(\frac{\xi}{x}\right)^{7/2} \right] \text{Ai}\left(2\frac{x-n}{(2f)^{1/3}}\right) \end{aligned} \quad (\text{П8})$$

$$\int_{-\infty}^{+\infty} d\psi \frac{\psi^2}{(1 + \psi^2)^2} \left| \frac{1}{f^{1/3}} \text{Ai}\left(\frac{v-n}{f^{1/3}}\right) \right|^2 = \frac{1}{\sqrt{\xi f}} \int_{-\infty}^{+\infty} \frac{d\psi}{(2f^{1/3})} \frac{1}{2} \left[\left(\frac{\xi}{x}\right)^{1/2} - \left(\frac{\xi}{x}\right)^{3/2} \right] \text{Ai}\left(2\frac{x-n}{(2f)^{1/3}}\right). \quad (\text{П9})$$

В формулах (П7)-(П9) $v = (1 + \psi^2)\xi$.

Литература

1. J. M. Rankin. ApJ. 1983, **274**, pp. 333-358.
2. V. Radhakrisnan, J. M. Rankin. ApJ. 1990, **352**, p. 258.
3. И. Ф. Малов. Астрон. ж. 1990, **67**, с. 377-392.
4. В. Л. Гинзбург. Изв. АН СССР. 1947, **11**, с. 165-169.
5. H. Motz. J. Appl. Phys. 1951, **22**, pp. 527-535.
6. А. А. Соколов, В. Ч. Жуковский, М. М. Колесникова. Изв. вузов. Физика. 1969, №2, с. 108-116.
7. G. A. Schott. Electromagnetic Radiation. Cambridge, Cambridge Univ. Press, 1912.
8. V. Radhakrishnan. Proc. Astron. Soc. Austral. 1969, **1**, No. 6, p. 254.
9. Yu. V. Chugunov, Ja. Eidman, E. V. Suvorov. Astr. Sp. Sci. 1975, **32**, L7-L10.
10. V. V. Zheleznyakov, V. E. Shaposhnikov. Austral. J. Phys. 1979, **32**, pp. 71-78.
11. K. S. Cheng, J. L. Zhang. ApJ. 1996, **463**, pp. 271-283.
12. В. Л. Гинзбург. Теоретическая физика и астрофизика. Москва, Наука, 1987, 488 с.
13. D. V. Melrose. ApJ. 1978, **225**, pp. 557-573.
14. Л. Д. Ландау, Е. М. Лифшиц. Теория поля. Москва, Наука, 1973, 504 с.
15. Д. Ф. Алферов, Ю. А. Башмаков, Е. Г. Бессонов. ЖТФ. 1973, **43**, с. 2126-2132.
16. Справочник по специальным функциям. Под ред. М. Абрамовица и И. Стиган. Москва, Наука, 1979, 832 с.

17. P. Goldreich, W. H. Julian. ApJ. 1969, **157**, pp. 869-880.
18. M. A. Rudermann, P. G. Sutherland. ApJ. 1975, **196**, pp. 51-72.
19. K. S. Cheng, C. Ho, M. A. Ruderman. ApJ. 1986, **300**, pp. 500-521.

On Relativistic Charged Particle Radiation in a Curved Magnetic Field

Ya. M. Sobolev

The radiation of a charged particle moving along curved magnetic field line is considered. The spectral-angular and spectral distributions are obtained in the case when the ultrarelativistic particle with an arbitrary pitch-angle loses the energy through both the curvature and undulator radiation mechanisms. It is shown that there are zones in pulsar magnetosphere where this radiative mechanism takes place.